

**РАСПРОСТРАНЕНИЕ МОДУЛИРОВАННЫХ НЕЛИНЕЙНЫХ ВОЛН
В РЕЛАКСИРУЮЩЕЙ ГАЗОЖИДКОСТНОЙ СМЕСИ**

А. Г. БАГДОЕВ, Г. Г. ОГАНЯН

(*Ереван*)

Распространение нестационарных слабых ударных волн в химически активной среде имеет существенно дисперсионный и диссипативный характер. Уравнения коротких волн для таких сред получены и исследованы в [1–4]. Представляет интерес изучение квазимонохроматических волн с медленно меняющимися амплитудой и фазой. Общий метод получения уравнений для модулированных колебаний в нелинейных диспергирующих средах без диссипации предложен в [5–8]. В настоящей работе для диспергирующей слабонелинейной слабодиссипативной среды выводятся в трехмерной постановке уравнения коротких волн и уравнение Шредингера, описывающее медленные модуляции амплитуды и фазы произвольной волны. Далее, коэффициенты уравнений конкретизируются для рассматриваемой газожидкостной смеси. Получены решения для узких пучков в данной дефокусирующей среде и линейное и нелинейное решения в окрестности дифракционного луча. Решение вблизи каустики для квазимонохроматических волн найдено в [9].

1. Исходные уравнения и порядки характеристик течения. Пусть в потоке химически активной смеси вязких жидкостей с газовыми пузырьками малых размеров происходит только одна химическая реакция. Предполагая, что газовая и жидккая фазы движутся с одинаковой скоростью, и считая, что расстояние между пузырьками много больше радиуса R пузырька, можно пренебречь взаимодействием между ними и пульсации одиночного пузырька описать уравнением Херринга – Флинна, учитываяшим сжимаемость жидкой фазы [10], причем газовая фаза химически инертна. Тогда изменение состава рассматриваемой газожидкостной смеси можно характеризовать изменением состава жидкой фазы посредством параметра q , называемым полнотой химической реакции. Систему исходных уравнений, описывающую течение релаксирующей газожидкостной смеси, возьмем в виде [11, 12]

$$(1.1) \quad \begin{aligned} \frac{d\rho}{dt} + \rho \operatorname{div} V &= 0 \\ \rho \frac{dV}{dt} &= -\nabla P + \frac{1}{3} \eta_1 \nabla (\operatorname{div} V) + \eta_1 \Delta V \\ \rho \left(T \frac{dS}{dt} + Q \frac{dq}{dt} \right) &= \sigma \nabla V, \quad Q = \sum_{k=1}^n (v_k' - v_k) \mu_k \\ P_2 - P &= \rho_1 R \left(1 - \frac{2}{c_{10}} \frac{dR}{dt} \right) \frac{d^2 R}{dt^2} + \frac{3}{2} \rho_1 \left(1 - \frac{4}{3} \frac{1}{c_{10}} \frac{dR}{dt} \right) \left(\frac{dR}{dt} \right)^2 + \\ &+ \frac{4\eta_1}{R} \frac{dR}{dt} - \frac{R}{c_{10}} \left(1 - \frac{1}{c_{10}} \frac{dR}{dt} \right) \frac{\partial}{\partial t} \left(P_2 - \frac{4\eta_1}{R} \frac{dR}{dt} \right) \\ \frac{P_2 \beta}{\rho_1 (1-\beta)} &= \text{const}, \quad \rho = \rho_1 (1-\beta), \quad P_2 R^3 = \text{const} \end{aligned}$$

Здесь индексом 1 обозначены параметры течения жидкой фазы, индексом 2 — газовой фазы, без индекса — всей смеси, t — время, P — давление, $V = \{u, v, w\}$ — вектор скорости частиц смеси, ρ — плотность, T — температура, S — энтропия, η — динамический коэффициент вязкости, σ — тензор вязких напряжений, β — объем газа в единице объема смеси, c_{10} — невозмущенная скорость звука в жидкой фазе, Q — сродство химической реакции, μ_k — химический потенциал, ∇ и Δ — операторы Гамильтона и Лапласа, v_k' , v_k — стехиометрические коэффициенты.

Пусть вблизи состояния покоя (полного термодинамического равновесия), т. е. $Q=0$, зависимость Q от q дается в виде [1]

$$(1.2) \quad \frac{dq}{dt} = -\frac{Q}{\tau_*} \left(\frac{\partial q}{\partial Q} \right)_{\rho_1 S} + \dots, \quad \left(\frac{\partial q}{\partial Q} \right)_{\rho_1 S} > 0$$

где τ_* — время протекания химической реакции.

Для замыкания системы (1.1) — (1.2) необходимо иметь три уравнения состояния среды, которые можно определить из соотношения Гиббса для удельной внутренней энергии [1, 2].

При течении релаксирующих сред [1—4] различаются квазизамороженный и квазиравновесный предельные процессы распространения возмущений, в которых τ_* намного больше ($\tau_* \sim 1$) и соответственно меньше ($\tau_* \sim \varepsilon^2$) макроскопического времени. В соответствии с видом процесса различаются две предельные скорости звука — c_f и c_e . Несомненный интерес представляют специальные среды, в которых величины предельных скоростей звука в покоящейся смеси близки одна другой [1—4], где $\tau_* \sim \varepsilon$.

Вначале, как и в [1], путем упрощения системы (1.1) — (1.2), выводятся уравнения, описывающие течение смеси в окрестности волн, близких к плоским. Далее уравнения обобщаются для существенно неодномерных произвольных волн. Не приводя здесь громоздких выкладок, подобных [1], можно в системе координат (x_1, y_1, z_1) , связанной с волной, получить следующие уравнения.

Квазизамороженный процесс

$$(1.3) \quad \begin{aligned} \frac{\partial}{\partial x_1} \left(\frac{\partial u}{\partial t} + \alpha_f u \frac{\partial u}{\partial x_1} - v_f \frac{\partial^2 u}{\partial x_1^2} + \gamma_f \frac{\partial^3 u}{\partial x_1^3} + g u - u \frac{d \ln A}{dt} \right) = \\ = -\frac{c_{f0}}{2} \left(\frac{\partial^2 u}{\partial y_1^2} + \frac{\partial^2 u}{\partial z_1^2} \right) \end{aligned}$$

Квазиравновесный процесс

$$(1.4) \quad \begin{aligned} \frac{\partial}{\partial x_1} \left(\frac{\partial u}{\partial t} + \alpha_e u \frac{\partial u}{\partial x_1} - \delta_e \frac{\partial^2 u}{\partial x_1^2} + \gamma_e \frac{\partial^3 u}{\partial x_1^3} - u \frac{d \ln A}{dt} \right) = \\ = -\frac{c_{e0}}{2} \left(\frac{\partial^2 u}{\partial y_1^2} + \frac{\partial^2 u}{\partial z_1^2} \right) \end{aligned}$$

Среда, в которой скорости звука близки

$$(1.5) \quad \begin{aligned} \frac{\partial}{\partial x_1} \left[\frac{\partial u}{\partial t} + (\alpha u - \varepsilon c_0 \sigma_s) \frac{\partial u}{\partial x_1} - \delta \frac{\partial^2 u}{\partial x_1^2} + \gamma \frac{\partial^3 u}{\partial x_1^3} - u \frac{d \ln A}{dt} \right] + \\ + \frac{c_0}{2} \left(\frac{\partial^2 u}{\partial y_1^2} + \frac{\partial^2 u}{\partial z_1^2} \right) = \tau_* c_0 \frac{\partial^2}{\partial x_1^2} \left[\frac{\partial u}{\partial t} + (\alpha u - \varepsilon c_0 \sigma_e) \frac{\partial u}{\partial x_1} - \right. \\ \left. - v \frac{\partial^2 u}{\partial x_1^2} + \gamma \frac{\partial^3 u}{\partial x_1^3} - u \frac{d \ln A}{dt} \right] + \tau_* \frac{c_0}{2} \frac{\partial}{\partial x_1} \left(\frac{\partial^2 u}{\partial y_1^2} + \frac{\partial^2 u}{\partial z_1^2} \right) \end{aligned}$$

Здесь в общем случае $dx_1=c_0d\tau_1$, $dy_1=H_2d\theta_1$, $dz_1=H_3d\xi_1$, уравнение $\tau_1=\text{const}$ описывает волну в линейной задаче, $\theta_1=\text{const}$, $\xi_1=\text{const}$ — уравнения лучей, H_2 , H_3 — коэффициенты Ламе, величина x_1 отсчитывается по нормали к волне, y_1 , z_1 — координаты, отсчитываемые вдоль кривых пересечения волны $\tau_1=0$ с поверхностями $\xi_1=\text{const}$, $\theta_1=\text{const}$ соответственно; производная $\partial/\partial t$ берется вдоль луча, т. е. при постоянных τ_1 , θ_1 , ξ_1 , ε — малый безразмерный параметр, c_0 — невозмущенная скорость звука, характеризуемая видом распространения возмущений, $A(t)$ — одномерное по нормали к волне линейное решение, называемое для недиссипативных недиспергирующих сред лучевым [15, 16].

При отсутствии функции $A(t)$ уравнения (1.4), (1.5) описывают течения в окрестности волн, близких к плоским

$$(1.6) \quad \begin{aligned} \alpha &= \beta_0 \left(\frac{\rho_0 c_0^2}{P_0} \right)^2 + \frac{\alpha_1}{1-\beta_0} \left(1 - \frac{\beta_0 \rho_0 c_0^2}{P_0} \right)^2, \quad \alpha_1 = \frac{1}{c_{10}} \left[\frac{\partial}{\partial \rho_1} (\rho_1 c_1) \right]_0, \\ \delta &= \delta_1 + \kappa + m, \quad \delta_1 = \frac{2}{3} \frac{\eta_1}{\rho_0} \left[1 + \beta_0 \left(\frac{\rho_0 c_0^2}{P_0} \right)^2 \right], \\ \kappa &= \frac{\beta_0 R_0 \rho_0 c_0^4}{2 P_0 c_{10}}, \quad \nu = \delta_1 + \kappa \\ m &= \tau \cdot \frac{c_{1f0}^2 - c_{1e0}^2}{2(1-\beta_0)^2} \left(1 - \frac{\beta_0 \rho_0 c_0^2}{P_0} \right)^2, \quad \gamma = \frac{\beta_0 R_0^2 \rho_0^2 c_0^5}{6(1-\beta_0) P_0^2}, \quad g = \frac{m_f}{c_{f0}^2 \tau^2} \end{aligned}$$

Здесь σ_e — постоянная порядка единицы, коэффициенты в (1.3) и (1.4) идентичны (1.6) с заменой c_0 на c_{f0} и c_{e0} , c_{10} на c_{1f0} и c_{1e0} соответственно.

2. Уравнения для медленно меняющихся амплитуды и фазы волны. Выведем уравнения, описывающие медленные изменения амплитуды и фазы произвольной квазимохроматической волны малой амплитуды, распространяющейся в произвольной неоднородной нелинейной среде, с учетом диссипации и дисперсии.

а) *Линейная постановка.* Предположение о медленном изменении параметров волны можно заменить, как принято в геометрической акустике [8], допущением о больших значениях эйконала основной волны или, что то же самое, о больших значениях несущей частоты ω ($\omega \sim 1/\varepsilon$). Нетрудно показать, что в основном порядке вместо системы линейных уравнений, описывающей течение произвольной среды, можно рассмотреть линейное уравнение относительно u [9]

$$(2.1) \quad \Delta(-il_1, -il_2, -il_3, il_4)u = 0$$

$$l_i = \frac{\partial}{\partial x_i}, \quad l_4 = \frac{\partial}{\partial t}, \quad (i=1, 2, 3; x_1=x, x_2=y, x_3=z)$$

Для волны, близкой к монохроматической, можно предположить

$$(2.2) \quad u = U(x, y, z, t) e^{i\tau}, \quad \tau = \tau_2(x, y, z) - \omega t, \quad \tau_2 = \omega \tau_3,$$

где U — медленно меняющаяся функция, $\tau_2 = \omega t$ — уравнение основной немодулированной волны.

Подставляя (2.2) в (2.1) и оставляя главные члены порядка ω^n , получим линейное дисперсионное уравнение

$$(2.3) \quad \Delta(\lambda_1, \lambda_2, \lambda_3, \omega) = 0, \quad \lambda_k = \partial \tau_2 / \partial x_k$$

Учитывая (2.3), из (2.1) для членов порядка ω^{n-1} можно получить

$$(2.4) \quad -i \frac{\partial U}{\partial x_k} (\Delta_{l_k} e^{i\tau}) + i \frac{\partial U}{\partial t} (\Delta_{l_k} e^{i\tau}) + \frac{1}{2} \left(-\Delta_{l_k l_j} \frac{\partial^2 U}{\partial x_k \partial x_j} + 2 \Delta_{l_k l_4} \frac{\partial^2 U}{\partial x_k \partial t} - \Delta_{l_k l_4} \frac{\partial^2 U}{\partial t^2} \right) e^{i\tau} = 0$$

Здесь по повторяющимся индексам производится суммирование, Δ_{l_k} — производная оператора Δ по l_k . Необходимо отметить, что в (2.4) не выписаны те члены порядка ω^{n-1} , которые получаются из действия операторов l_k на переменные коэффициенты в (2.1), дающие слагаемые, содержащие множителем функцию U , а не ее производные. Указанные слагаемые будут в дальнейшем включены в основное уравнение в виде члена с коэффициентом, характеризующим одномерное вдоль луча немодулированное решение.

Удобно в (2.4) ввести лучевые координаты t , τ , θ , ξ , где $\theta = \text{const}$, $\xi = \text{const}$ дают уравнения лучей, τ отсчитывается по нормали к точечной волне, откуда

$$(2.5) \quad \frac{dx_k}{d\sigma} = \Delta_{\lambda_k}, \quad \frac{dt}{d\sigma} = -\Delta_\omega, \quad \frac{\partial \theta}{\partial x_k} \Delta_{\lambda_k} = 0, \quad \frac{\partial \xi}{\partial x_k} \Delta_{\lambda_k} = 0$$

Здесь σ — параметр вдоль луча, индексы при Δ означают дифференцирование, причем

$$(2.6) \quad \frac{\partial}{\partial x_k} = \lambda_k \frac{\partial}{\partial \tau} + \frac{\partial \theta}{\partial x_k} \frac{\partial}{\partial \theta} + \frac{\partial \xi}{\partial x_k} \frac{\partial}{\partial \xi}$$

Имея в виду (2.5) и (2.6), нетрудно показать, что в слагаемых (2.4), содержащих первые производные от U , остается производная по t , взятая вдоль луча $\xi = \text{const}$

$$(2.7) \quad \frac{\partial U}{\partial t} \Big|_{\xi} = \frac{\partial U}{\partial t} - \frac{\lambda_k \Delta_{\lambda_k}}{\Delta_\omega} \frac{\partial U}{\partial \tau} = \frac{\partial U}{\partial t} - \frac{\Delta_{\lambda_k}}{\Delta_\omega} \frac{\partial U}{\partial x_k}$$

Принимая, что $\tau \sim \omega^{1/2}$, можно в первом соотношении (2.7) при учете членов порядка $\omega^{n-1/2}$ принять левую часть равной нулю и полученное значение $\partial U / \partial t$ подставить в производные второго порядка, имеющие порядок ω^{n-1} . Переходя в (2.4) к лучевым координатам, в силу (2.5), (2.6) и высказанного можно получить

$$(2.8) \quad \begin{aligned} & i \Delta_\omega \frac{\partial U}{\partial t} \Big|_{\xi} - \frac{1}{2} \Gamma \frac{\partial^2 U}{\partial \tau^2} + \Lambda \frac{\partial^2 U}{\partial \tau \partial \theta} + \Lambda_1 \frac{\partial^2 U}{\partial \tau \partial \xi} + GU = 0 \\ & \Lambda = \left(\Delta_{\omega \lambda_k} \frac{\lambda_k \Delta_{\lambda_k}}{\Delta_\omega} - \lambda_j \Delta_{\lambda_k \lambda_j} \right) \frac{\partial \theta}{\partial x_k}, \quad \Gamma = \sum_{j,k=1}^3 \lambda_k \lambda_j \Delta_{\lambda_k \lambda_j} + \Delta_{\omega \omega} \frac{\lambda_k \Delta_{\lambda_k}}{\Delta_\omega^2} - \\ & - 2 \frac{\lambda_k \Delta_{\lambda_k}}{\Delta_\omega} \sum_{k=1}^3 \lambda_k \Delta_{\omega \lambda_k}, \\ & G = - \frac{\Delta_{\lambda_k \lambda_j}}{2} \left(\frac{\partial \theta}{\partial x_k} \frac{\partial}{\partial \theta} + \frac{\partial \xi}{\partial x_k} \frac{\partial}{\partial \xi} \right) \left(\frac{\partial \theta}{\partial x_j} \frac{\partial}{\partial \theta} + \frac{\partial \xi}{\partial x_j} \frac{\partial}{\partial \xi} \right) \end{aligned}$$

Здесь Λ_1 получается из Λ заменой θ на ξ , причем для недиспергирующих сред $\Lambda = \Lambda_1 = \Gamma = 0$.

Как и в [9, 15], нетрудно показать, что в (2.8) при вычислении коэффициентов при производных по θ, ζ, τ уравнения среды можно записать в подвижной системе координат (x_1, y_1, z_1) . При этом, согласно (2.7), выражение для $(\partial/\partial t)_x^i$ удобнее всего записывать прямо в лучевых координатах, и ввиду инвариантности записи $\lambda_k \Delta_{\lambda_k} / \Delta_\omega = -\lambda C_n = -\omega C_n / c_n$, где C_n, c_n — проекции векторов групповой и фазовой скоростей на нормаль к волне, можно в (2.8) полагать $\lambda_2 = \lambda_3 = 0$, т. е. вычисления производить в подвижных координатах. В случае пучков, имеющих ось симметрии x_1 , координаты y, y_1 и z, z_1 совпадают.

Исходя из вышесказанного, полагая в коэффициенте $G(\theta = \theta(y_1, \tau, t), \zeta = \zeta(z_1, \tau, t))$ и используя (2.3), (2.5), можно получить [9]

$$(2.9) \quad K_1 U = \left[i \Delta_\omega \frac{\partial}{\partial t} - \frac{1}{2} \Gamma \frac{\partial^2}{\partial \tau^2} + \Lambda \frac{\partial^2}{\partial \tau \partial \theta} + \Lambda_1 \frac{\partial^2}{\partial \tau \partial \zeta} + \right. \\ \left. + \frac{1}{2} \Delta_{\lambda_1} \left(\frac{\partial^2 \lambda_1}{\partial \lambda_2^2} \frac{\partial^2}{\partial y_1^2} + \frac{\partial^2 \lambda_1}{\partial \lambda_3^2} \frac{\partial^2}{\partial z_1^2} + \frac{\partial^2 \lambda_1}{\partial \lambda_2 \partial \lambda_3} \frac{\partial^2}{\partial y_1 \partial z_1} \right) - \right. \\ \left. - i \Delta_\omega \frac{d \ln A_1}{dt} \right] U = 0$$

Здесь последнее слагаемое добавлено для учета членов, содержащих функцию U , о чем было сказано выше, $A_1(t)$ — немодулированное значение U .

В линеаризованных уравнениях (1.3) — (1.5) в силу малости диссипации и дисперсии сделаем замену $dx_1 \approx c_0 dt / \omega$ и подставим в них (2.2). Тогда в слагаемых, соответствующих указанным эффектам, величина U войдет только множителем и влияние указанных эффектов скажется лишь на функции A_1 , связь которой с A запишется, например для (1.3), в виде

$$A_1 = A \exp \left[i \gamma_f \frac{\omega^3}{c_{f0}^3} t - \frac{\omega^2}{c_{f0}^2} \left(v_f + \frac{c_{f0}^2}{\omega^2} g \right) t \right] = AD(t)$$

Вводя функцию U_* , преобразуем (2.9) к виду

$$(2.10) \quad KU_* = 0, \quad U = U_* D(t)$$

где оператор K получается из K_1 заменой A_1 на A .

В плоской линейной задаче дифракции периодических волн от угла решения в окрестности точек $\theta = \theta_0$ касания падающих волн с точечными, произведенными вершиной угла, имеет вид [9]

$$(2.11) \quad u = \frac{A_1}{2\sqrt{k_1 - k_2}} \exp \left[-\frac{i\omega(\theta - \theta_0)^2}{2c(k_1 - k_2)} \right] [1 - \Phi(\gamma)],$$

$$\gamma = (\theta - \theta_0) \sqrt{-\frac{i\omega}{2c(k_1 - k_2)}}$$

где $\Phi(\gamma)$ — интеграл Френеля, $A_1(\tau_s)$ и $k_1(\tau_s)$ — амплитуда и кривизна точечных волн, постоянные k_2 и c — кривизна «начальной» волны и ее нормальная фазовая скорость.

Покажем, что (2.11) имеет место и для слабодиссипативных диспергирующих сред. В дифракционных задачах члены с $\Lambda, \Lambda_1, \Gamma$ в (2.9) можно отбросить. Далее, записывая вдоль луча

$$\frac{dk_1}{dt} \Big|_{\xi} = \frac{C_n}{c_n} \frac{dk_1}{d\tau_1}$$

и подставляя (2.11) в упрощенное уравнение (2.9), нетрудно убедиться, что (2.11) действительно является решением при выполнении соотношения

$$\frac{dk_1}{d\tau_s} = \frac{C_n}{c} \frac{\omega}{H_2^2} \frac{\partial^2 \lambda_1}{\partial \lambda_2^2}$$

которое, в частности, было проверено для дифракции волн на воде [5], где $k_1 = (c_n \tau_s)^{-1}$, $H_2 = c_n \tau_s$, и для произвольной однородной среды, где $k_1 = -(\tau_1 \partial^2 \lambda_1 / \partial \lambda_2^2)^{-1}$, $H_2 = -\tau_1 \partial^2 \lambda_1 / \partial \lambda_2^2$, $c_n = c_0$.

б) *Нелинейная постановка.* Пусть $\omega_1 = \omega(\lambda_k^*, a^2)$ есть дисперсионное уравнение нелинейной задачи [8], в котором $\lambda_k^* = \lambda_k + \varphi_k$, φ — возмущенная фаза модулированной волны, обусловленная малой нелинейностью и нестационарностью, a — медленно меняющаяся амплитуда. Разлагая частоту вблизи модулированного процесса в ряд Тейлора, получим

$$(2.12) \quad \omega_1 = \omega(\lambda_k) + \frac{\partial \omega}{\partial \lambda_k} \varphi_{x_k} + \frac{1}{2} \frac{\partial^2 \omega}{\partial \lambda_k \partial \lambda_i} \varphi_{x_k}^2 + \left(\frac{\partial \omega}{\partial a^2} \right)_{a=0} a^2$$

где $x_k = \{x_1, y_1, z_1\}$ — вышеупомянутый подвижный трехгранник, первые три члена определяют линейный закон дисперсии.

По определению, $\omega_1 = \omega - \varphi_t$. Подставляя это выражение в (2.12), можно для φ получить уравнение, линейная часть которого совпадает с уравнением, получаемым из (2.10), где $U_* = a \exp(i\varphi)$, путем отделения действительной части и отбрасыванием вторых производных от a . При этом учитывается, что уравнение (2.8) относительно Δ однородно и для данной волны можно полагать $\Delta = \omega - \omega(\lambda_k^*)$. Сравнение этих уравнений дает нелинейное уравнение Шредингера

$$(2.13) \quad KU_* = \Delta_\omega |U_*|^2 U_* \left(\frac{\partial \omega}{\partial a^2} \right)_0, \quad \left(\frac{\partial \omega}{\partial a^2} \right)_0 = \left(\frac{\partial \omega}{\partial a^2} \right)_{a=0}$$

Здесь в операторе K

$$(2.14) \quad \Gamma = -\lambda_1^2 \frac{\partial^2 \omega}{\partial \lambda_1^2}, \quad \Lambda = \frac{\lambda^2}{H_2} \left(\frac{\partial \lambda_1}{\partial \lambda_2} \frac{\partial^2 \omega}{\partial \lambda_1^2} + \frac{\partial^2 \omega}{\partial \lambda_1 \partial \lambda_2} \right)$$

Величина Λ , получается из Λ заменой λ_2 на λ_3 и H_2 на H_3 . Выражения (2.13) и (2.8) совпадают, если в (2.8) перейти в функции U к подвижной системе координат, положив при этом $\lambda_2 \approx \lambda_3 \approx 0$.

Записывая $U_* = a \exp(i\varphi)$ и отделяя в (2.13) действительную и мнимую части, получим уравнения для фазы и амплитуды

$$(2.15) \quad \begin{aligned} & \frac{\partial \varphi}{\partial t} \Big|_s + \frac{1}{2} \frac{\Delta_{\lambda_1}}{\Delta_\omega} \left(\frac{\partial^2 \lambda_1}{\partial \lambda_2^2} \varphi_{y_1}^2 + \frac{\partial^2 \lambda_1}{\partial \lambda_3^2} \varphi_{z_1}^2 + 2 \frac{\partial^2 \lambda_1}{\partial \lambda_2 \partial \lambda_3} \varphi_{y_1} \varphi_{z_1} \right) - \\ & - \frac{1}{2} \frac{\Delta_{\lambda_1}}{a \Delta_\omega} \left(\frac{\partial^2 \lambda_1}{\partial \lambda_2^2} a_{y_1 y_1} + \frac{\partial^2 \lambda_1}{\partial \lambda_3^2} a_{z_1 z_1} + 2 \frac{\partial^2 \lambda_1}{\partial \lambda_2 \partial \lambda_3} a_{y_1 z_1} \right) - \\ & - \frac{\Gamma}{2a \Delta_\omega} (a \varphi_{\tau}^2 - a_{\tau \tau}) + \frac{\Lambda}{a \Delta_\omega} H_2 (a \varphi_{\tau} \varphi_{y_1} - a_{\tau y_1}) + \frac{\Lambda_1}{a \Delta_\omega} H_3 (a \varphi_{\tau} \varphi_{z_1} - a_{\tau z_1}) + \\ & + a^2 \left(\frac{\partial \omega}{\partial a^2} \right)_0 = 0 \\ & \frac{\partial a^2}{\partial t} \Big|_s - a^2 \frac{d \ln A^2}{dt} + \frac{\Delta_{\lambda_1}}{\Delta_\omega} \left[\frac{\partial^2 \lambda_1}{\partial \lambda_2^2} (a^2 \varphi_{y_1})_{y_1} + \frac{\partial^2 \lambda_1}{\partial \lambda_3^2} (a^2 \varphi_{z_1})_{z_1} + \right. \end{aligned}$$

$$(2.16) \quad \left. + \frac{\partial^2 \lambda_1}{\partial \lambda_2 \partial \lambda_3} (a^2 \varphi_{v_1})_{z_1} + \frac{\partial^2 \lambda_1}{\partial \lambda_2 \partial \lambda_3} (a^2 \varphi_{z_1})_{v_1} \right] - \frac{\Gamma}{\Delta_\omega} (a^2 \varphi_v)_v + \\ + \frac{\Lambda}{\Delta_\omega} H_2 [(a^2 \varphi_v)_v + (a^2 \varphi_{v_1})_v] + \frac{\Lambda_1}{\Delta_\omega} H_3 [(a^2 \varphi_v)_z + (a^2 \varphi_{z_1})_v] = 0$$

Полученные уравнения верны при действительных Λ , Λ_1 , Γ и $(\partial \omega / \partial a^2)_0$.

Если в (2.15) пренебречь вторыми производными от a , то можно записать условие действительности характеристик для (2.15), (2.16), откуда, если дисперсионные эффекты существенны и волна не имеет особенностей в поперечном направлении, можно найти условие продольной устойчивости волны [8]: $(\partial \omega / \partial a^2)_0 (\partial \omega / \partial \lambda_1^2) > 0$, а для типичных задач дифракции — условие поперечной устойчивости волны [9].

3. Определение коэффициентов. Для вычисления коэффициентов в (2.9) — (2.16) необходимо знать нелинейное дисперсионное уравнение для одномерной по x_1 задаче, а также линейное дисперсионное уравнение для трехмерной задачи. Подобное разделение способа получения коэффициентов видно из уравнений коротких волн (1.3) — (1.5), в которых неодномерные члены дают слагаемые порядка $\lambda_2^2 \sim \lambda_3^2 \sim \epsilon^3$ и не могут в основном порядке повлиять на коэффициент $\partial \omega / \partial a^2$. Коэффициенты $\partial^2 \lambda_1 / \partial \lambda_2^2$, $\partial^2 \lambda_1 / \partial \lambda_3^2$ можно определить из линеаризованной системы исходных уравнений в предположении малости эффектов диссипации и дисперсии, однако тот же результат проще всего получить прямо из уравнений (1.3) — (1.5), которые используются в качестве модельных для описания соответствующих процессов распространения волн с медленно меняющимися амплитудами и фазами.

В линейном приближении, полагая в (1.4) — (1.5)

$$u = A_1 \Psi(t, y_1, z_1) e^{i\tau}, \quad A_1 \Psi = U$$

получим относительно Ψ линейное уравнение Шредингера

$$(3.1) \quad i \frac{\partial \Psi}{\partial t} + \frac{c_0^2}{2\omega} \left(\frac{\partial^2 \Psi}{\partial y_1^2} + \frac{\partial^2 \Psi}{\partial z_1^2} \right) = 0$$

Отсюда видно, что в общих уравнениях (2.9), где $U = A_1 \Psi$, следует полагать

$$\Lambda = \Lambda_1 = \Gamma = 0, \quad \partial^2 \lambda_1 / \partial \lambda_2^2 = \partial^2 \lambda_1 / \partial \lambda_3^2 = -c_0 / \omega, \quad \Delta_\omega = 1, \quad \Delta_{\lambda_1} = -c_0$$

Теперь определим нелинейное дисперсионное соотношение для (1.4). Для этого рассмотрим его одномерный вариант и будем искать стационарное решение в виде $u = u(\xi)$, $\xi = x_1 - Vt$, V — нелинейный добавок к скорости волны. Уравнение (1.3) примет вид

$$-Vv' + \alpha_f v v' - v_f v'' + \gamma_f v''' + g v = 0, \quad v = u/A(t), \quad \alpha_f^\circ = \alpha_f \cdot A$$

Полагая, что эффекты трения и диссипации малы, решение ищем в виде

$$v = b \cos \lambda_1 \xi + b_1 \cos 2\lambda_1 \xi + b_2 \sin \lambda_1 \xi + b_3 \sin 2\lambda_1 \xi$$

Для определения постоянных b_i получаем систему

$$(3.2) \quad \begin{aligned} 2(V\lambda_1 + \gamma_f \lambda_1^3) b - \alpha_f^\circ \lambda_1 b b_1 - \alpha_f^\circ \lambda_1 b_2 b_3 + 2(g + v_f \lambda_1^2) b_2 &= 0 \\ 4(V\lambda_1 + 4\gamma_f \lambda_1^3) b_1 - \alpha_f^\circ \lambda_1 b^2 + \alpha_f^\circ \lambda_1 b_2^2 + 2(g + 4v_f \lambda_1^2) b_3 &= 0 \\ 2(V\lambda_1 + \gamma_f \lambda_1^3) b_2 - \alpha_f^\circ b b_3 + \alpha_f^\circ \lambda_1 b_1 b_2 - 2(g + v_f \lambda_1^2) b &= 0 \\ 2(V\lambda_1 + 4\gamma_f \lambda_1^3) b_3 - \alpha_f^\circ \lambda_1 b b_2 - (g + 4v_f \lambda_1^2) b_1 &= 0 \end{aligned}$$

При отсутствии диссипации и трения ($v_f=g=0$), $b_2=b_3=0$ и решение системы имеет вид [8] ($\omega=\omega_1-\lambda_1 c_0$)

$$(3.3) \quad \Omega = \omega + \gamma_j \lambda_1^3 - \frac{b^2 \alpha_f^2}{24 \gamma_j \lambda_1} + \frac{b^4 \alpha_f^4}{(12 \gamma_j)^3 \lambda_1^5} = 0,$$

$$a = A b \exp \left[\left(g + \frac{\omega^2}{c_{f0}^2} v_f \right) t \right]$$

Отметим, что систему (3.2) можно получить также из вариационного принципа Уизема [5].

При малых значениях диссипации и трения ($v_f \sim \varepsilon^7$, $g \sim \varepsilon^5$), используя (3.3), приведем (3.2) к упрощенному нелинейному дисперсионному уравнению

$$\left[\Omega + \frac{b^4 \alpha_f^4}{(12 \gamma_j)^3 \lambda_1^5} \right]^2 \Omega - \frac{b^2 \alpha_f^2}{24 \gamma_j \lambda_1} (g + \nu_j \lambda_1^2)^2 = 0$$

Ограничивааясь первым корнем уравнения, получим снова соотношение (3.3), показывающее, что в принятом приближении влияние диссипативных факторов не оказывается на виде нелинейного дисперсионного соотношения, откуда определим

$$\left(\frac{\partial \omega}{\partial a^2} \right)_0 = \frac{\alpha_f^2}{24 \gamma_j \lambda_1} \exp \left[-2 \left(g + \frac{\omega^2}{c_{f0}^2} v_f \right) t \right] \approx \frac{\alpha_f^2}{24 \gamma_j \lambda_1}$$

Если диссипация v_f и трение g не малы, то понятия медленно меняющихся амплитуд и фазы волны теряют смысл [17].

4. Узкие пучки. Подставляя вычисленные значения коэффициентов в (2.15) и (2.16) и отбрасывая вторые производные от амплитуды a , получим

$$\begin{aligned} \frac{\partial \Phi}{\partial t} + \frac{c_0^2}{2\omega} (\Phi_{y_1} + \Phi_{z_1}) + \frac{\alpha_f c_0 a_2}{24 \gamma_j \omega} &= 0 \\ \frac{\partial a^2}{\partial t} - a^2 \frac{d \ln A}{dt} + \frac{c_0^2}{\omega} \left[\frac{\partial a^2}{\partial y_1} \Phi_{y_1} + \frac{\partial a^2}{\partial z_1} \Phi_{z_1} + a^2 \left(\frac{\partial^2 \Phi}{\partial y_1^2} + \frac{\partial^2 \Phi}{\partial z_1^2} \right) \right] &= 0 \end{aligned}$$

Полученные уравнения удобны при решении задач с начальными условиями. Для формулировки задач с граничными условиями необходимо с точностью до малых членов второго порядка положить $\partial/\partial t \approx c_0 \partial/\partial l$, где l — длина дуги луча в линейной задаче. Для немодулированных плоских волн в случае плоских пучков решение не зависит от z_1 , так что положим $y_1=r$, а для осесимметричных пучков введем в плоскости, перпендикулярной оси x_1 пучка, полярные координаты $y_1=r \cos \nu$, $z_1=r \sin \nu$. Тогда после перехода от l к новой координате μ ($l=\mu \omega/c_0$) уравнения в обоих случаях запишутся в виде

$$(4.1) \quad \frac{\partial \Phi}{\partial \mu} + \frac{1}{2} \left(\frac{\partial \Phi}{\partial r} \right)^2 + \frac{\alpha_f}{24 \gamma_j c_0} a^2 = 0$$

$$(4.2) \quad \frac{\partial}{\partial \mu} \left(\frac{a^2}{A^2} \right) + \frac{\partial \Phi}{\partial r} \frac{\partial}{\partial r} \left(\frac{a^2}{A^2} \right) + \frac{a^2}{A^2} \left(\frac{\partial^2 \Phi}{\partial r^2} + \frac{n}{r} \frac{\partial \Phi}{\partial r} \right) = 0$$

где $n=0$, 1 соответствуют плоскому и осесимметричному случаям, r — радиальная координата.

Для цилиндрических и сферических немодулированных волн можно также получить уравнения (4.1) и (4.2), где под r необходимо уже подразумевать длину дуги волны.

Следуя [5, 18], где рассмотрена начальная плоская волна, решения для начальной цилиндрической или сферической волн ищем в виде

$$(4.3) \quad \varphi = \sigma(\mu) + \frac{r^2}{2R(\mu)} \quad \mu = 0, \quad \varphi = \sigma(0) + \frac{r^2}{2R(0)}$$

Здесь $1/\lambda_1 R$ — кривизна модулированной волны на оси пучка, $\lambda_1 = \omega/c_0$ — волновое число.

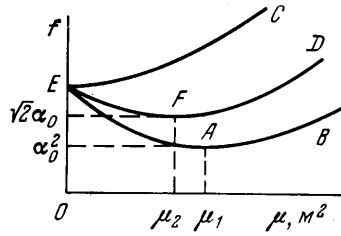
Аналогично [5], вводя вместо R меру схождения пучка

$$(4.4) \quad \frac{1}{R(\mu)} = \frac{1}{f} \frac{df}{d\mu}, \quad \mu = 0, \quad f(0) = 1$$

окончательно получим

$$(4.5) \quad \begin{aligned} \frac{a^2}{A^2} &= \frac{a_0^2}{A^2(0)} \frac{1}{f^{n+1}} \left(1 - \frac{r^2}{r_0^2} \frac{1}{f^2} \right) \\ \frac{1}{A^2} \frac{d^2 f}{d\mu^2} - \frac{\alpha_f a_0^2}{24\gamma_f c_0 r_0^2 A^2(0)} \frac{1}{f^{n+2}} &= 0 \end{aligned}$$

Здесь a_0 — начальное значение амплитуды модулированной волны на оси пучка, r_0 — начальное значение ширины пучка.



В общем случае для существенно неплоских волн интегрирование должно производиться на ЭВМ. Для плоских волн $A(\mu) = \text{const}$. Тогда уравнение (4.5) после однократного интегрирования и учета граничного условия (4.4) можно привести к виду

$$(4.6) \quad f'^2 = \frac{\alpha_f}{n+1} \frac{a_0^2}{12\gamma_f c_0 r_0^2} \left(1 - \frac{1}{f^{n+1}} \right) + \frac{1}{R_0^2}, \quad R_0 = R(0)$$

а) Пусть $n=0$, тогда из (4.6) можно получить

$$\frac{df}{d\mu} = \pm \left(\frac{b_0^2 f - g_0^2}{f} \right)^{1/2}, \quad b_0^2 = g_0^2 + \frac{1}{R_0^2}, \quad g_0^2 = \frac{\alpha_f}{12\gamma_f c_0 r_0^2} a_0^2$$

Если выбрать верхний знак, то, согласно (4.4), $R(\mu) > 0$, т. е. первоначально заданная волна выпуклая и решение запишется в виде (ветвь EC фигуры)

$$\mu = \frac{1}{b_0} \left[\sqrt{f} \sqrt{f - \alpha_0^2} - \sqrt{1 - \alpha_0^2} + (2 - \alpha_0^2) \ln \frac{\sqrt{f} + \sqrt{f - \alpha_0^2}}{1 + \sqrt{1 - \alpha_0^2}} \right],$$

$$\alpha_0^2 = \frac{g_0^2}{b_0^2} < 1$$

Если выбрать нижний знак, то $R < 0$, т. е. волна вогнутая и решение будет описываться ветвью EA (см. фигуру)

$$\mu = \frac{1}{b_0} \left[\sqrt{1-\alpha_0^2} - \sqrt{f} \sqrt{f-\alpha_0^2} + (2-\alpha_0^2) \ln \frac{1+\sqrt{1-\alpha_0^2}}{\sqrt{f}+\sqrt{f-\alpha_0^2}} \right]$$

В точке $\mu_1 = \mu_*$, $f = \alpha_0^2$, где

$$\mu_* = \frac{1}{b_0} \left[\sqrt{1-\alpha_0^2} + (2-\alpha_0^2) \ln \frac{1+\sqrt{1-\alpha_0^2}}{\alpha_0} \right]$$

т. е. до точки $\mu_1 = \mu_*$ пучок сходится и вогнутая волна превращается в этой точке в плоскую [$f'(\mu_*) = 0$], затем выгибается в сторону выпуклости и решение дается в форме (ветвь AB)

$$\mu = \frac{1}{b_0} \left[\sqrt{1-\alpha_0^2} + \sqrt{f} \sqrt{f-\alpha_0^2} + (2-\alpha_0^2) \ln \frac{\sqrt{f}+\sqrt{f-\alpha_0^2}}{1-\sqrt{1-\alpha_0^2}} \right]$$

б) Пусть $n=1$, тогда из (4.6) можно получить

$$\frac{df}{d\mu} = \pm b_0 \left(\frac{f^2 - \alpha_0^2}{f^2} \right)^{1/2}, \quad \alpha_0^2 = \frac{g_0^2}{2b_0^2} < 1$$

Ветви EC и EF описываются решением $\mu = \pm b_0^{-1} (\sqrt{f^2 - \alpha_0^2} - \sqrt{1 - \alpha_0^2})$, причем верхний знак соответствует выпуклой волне, а нижний — вогнутой. В последнем случае до значения $\mu_2 = \mu_* = b_0^{-1} \sqrt{1 - \alpha_0^2}$ пучок сходится и волна, становясь плоской, в дальнейшем выгибается в сторону выпуклости (ветвь FD). Решение записывается в виде $\mu = b_0^{-1} (\sqrt{f^2 - \alpha_0^2} + \sqrt{1 - \alpha_0^2})$.

В заключение отметим, что для уравнения (3.1) можно решать задачу о дифракционном расплывании гауссова пучка [13], а соответствующую нелинейную задачу решать численно с помощью (4.1) и (4.2).

Поступила 9 XI 1978.

ЛИТЕРАТУРА

- Рыжов О. С. О нелинейной акустике химически активных сред. ПММ, 1971, т. 35, вып. 6.
- Наполитано Л. Дж., Рыжов О. С. Об аналогии между неравновесными и вязкими инертными течениями при околозвуковых скоростях. Ж. вычисл. матем. и матем. физ., 1971, т. 11, № 5.
- Оганян Г. Г. Распространение слабых волн в химически активной среде в нелинейной постановке. Изв. АН АрмССР, Механика, 1973, т. 26, № 6.
- Ни А. Л., Рыжов О. С. Нелинейное распространение волн в средах с произвольным количеством химических реакций. ПММ, 1976, т. 40, вып. 4.
- Узем Дж. Линейные и нелинейные волны. М., «Мир», 1977.
- Lighthill M. J. Some special cases treated by the Whitham theory. Proc. Roy. Soc., 1967, vol. A 299, 1456.
- Островский Л. А., Пелиновский Е. Н. Метод усреднения для несинусоидальных волн. Докл. АН СССР, 1970, т. 195, № 4.
- Карпман В. И. Нелинейные волны в диспергирующих средах. М., «Наука», 1973.
- Багдоев А. Г. Определение окрестности фронтов волн в пространственной задаче. Изв. АН АрмССР, Механика, 1977, т. 30, № 6.
- Акуличев В. А. Пульсации кавитационных полостей. В сб. Мощные ультразвуковые поля. М., «Наука», 1968.
- Гроот С. Р., де Мазур П. Неравновесная термодинамика. М., «Мир», 1964.
- Van Вейнгарден Л. Одномерные течения жидкостей с пузырьками газа. В сб. Реология супензий. М., «Мир», 1975.
- Руденко О. В., Солуян С. И. Теоретические основы нелинейной акустики. М., «Наука», 1975.
- Bagdoev A. G., Gurgenian A. A. On the definition of simplified nonlinear equations. Instituto di meccanica applicata del politecnico di Torino, nota tecnica 113, 1976.

-
15. Bretherton F. P., Garrett C. J. R. Wavetrains in inhomogeneous moving media. Proc. Roy. Soc., 1968, vol. A 302, No. 1471.
 16. Багдоев А. Г., Даноян З. Н. Исследования движения среды в окрестности точки касания ударных волн в линейной и нелинейной постановке. Ж. вычисл. матем. и матем. физ., 1972, т. 12, № 6.
 17. Tay C. A. Линейные волны в средах с дисперсией. В сб. Нелинейные волны. М., «Мир», 1977.
 18. Ахманов С. А., Сухоруков А. П., Хохлов Р. В. Самофокусировка и дифракция света в нелинейной среде. Усп. физ. н., 1967, т. 93, № 1.
-